

УДК 531.8+681.51

Ю.А. Алюшин, П.М. Вержанский, М.Н. Калинкин

УПРАВЛЕНИЕ ДВИЖЕНИЕМ НАВИГАЦИОННОГО РОБОТА МОЩНОСТЬЮ ПРИВОДОВ ВЕДУЩИХ КОЛЕС

Для описания движения мобильного навигационного робота использован принцип суперпозиции с описанием движений в форме Лагранжа с наложением трех простых движений. Уравнения для скоростей и ускорений получены дифференцированием уравнений пространственного движения. Угловые скорости и ускорения ведущих колес использованы в качестве аргументов при расчете составляющих кинетической энергии поступательного и вращательного движения, скорости их изменения и мощности, подаваемой на ведущие колеса. Приведены примеры управления простыми и сложными движениями робота.

Ключевые слова: принцип суперпозиции движений в форме Лагранжа, кинетическая энергия, мощность приводов, ведущие колеса.

В последнее время навигационные роботы получают широкое распространение для работы в особо опасных условиях, в том числе в горной промышленности. Алгоритмы управления ими реализуются, как правило, на основе точных аналитических выражений, которые не требуют интегрирования дифференциальных уравнений и поэтому могут быть использованы при моделировании работы навигационных систем на продолжительных интервалах времени [1, 2]. В данной работе предложен один из возможных вариантов управления роботом через мощности независимых электроприводов колес с использованием описания движения в форме Лагранжа [3, 4].

Систему отсчета наблюдателя (рис. 1, а) принимаем так, чтобы в исходном состоянии оси ведущих колес робота были ориентированы вдоль оси y , а их пересечения с плоскостями симметрии колес имели координаты $A(c, b, r)$ и $B(c, d, r)$. Движение робота в пространстве переменных Лагранжа можно рассматривать как наложение трех движений:

- а) вращательного движения колес относительно собственных осей,
- б) дополнительного вращения робота относительно оси, проходящей через произвольно выбранный полюс параллельно оси z , которое возникает за счет разности окружных скоростей ведущих колес,
- в) поступательного движения полюса.

С учетом ориентации колес в исходном состоянии, вращение принадлежащих им частиц в плоскости xOz описывают уравнения

$$x = c + (\alpha - c) \cos \Delta\varphi + (\gamma - r) \sin \Delta\varphi , \quad (1)$$

$$y = \beta ,$$

$$z = r - (\alpha - c) \sin \Delta\varphi + (\gamma - r) \cos \Delta\varphi ,$$

где α, β, γ — лагранжевы (начальные) координаты рассматриваемой частицы по направлениям осей x , y и z , соответственно.

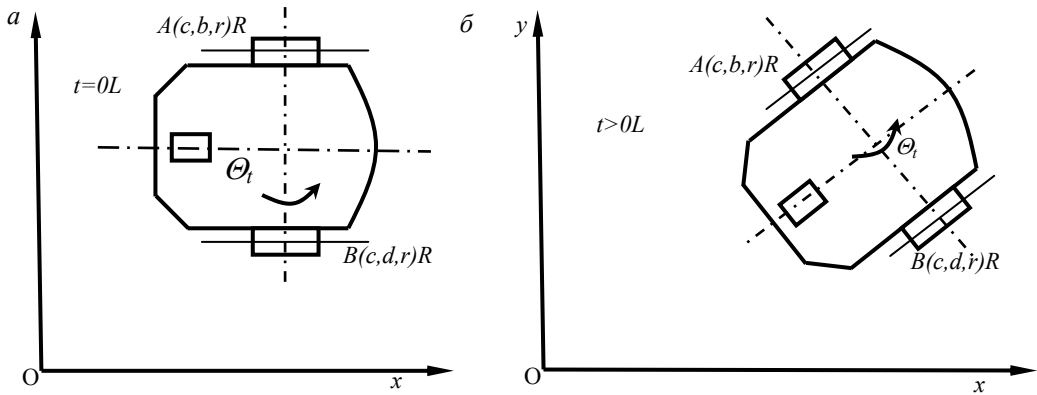


Рис. 1. Исходное (а) и текущее (б) положения навигационного робота

Разность угловых скоростей ведущих колес приводит к вращению относительно оси, параллельной оси z . В качестве полюса для описания этого вращательного движения можно принять точку А. Тогда уравнения внешнего наложенного движения принимают вид

$$\begin{aligned} x &= c + (\alpha - c) \cos \Delta\theta - (\beta - b) \sin \Delta\theta, \\ y &= b + (\alpha - c) \sin \Delta\theta + (\beta - b) \cos \Delta\theta, \\ z &= \gamma. \end{aligned} \quad (2)$$

Используя принцип суперпозиции, получаем уравнения совмещенного движения для любых частиц колес А и В с начальными координатами (α, β, γ)

$$\begin{aligned} x &= c + [(\alpha - c) \cos \Delta\varphi + (\gamma - r) \sin \Delta\varphi] \cos \Delta\theta - (\beta - b) \sin \Delta\theta, \\ y &= b + [(\alpha - c) \cos \Delta\varphi + (\gamma - r) \sin \Delta\varphi] \sin \Delta\theta + (\beta - b) \cos \Delta\theta, \\ z &= r - (\alpha - c) \sin \Delta\varphi + (\gamma - r) \cos \Delta\varphi. \end{aligned} \quad (3)$$

Для частиц колеса А уравнения (3) за счет $\beta = b$ принимают более простой вид

$$\begin{aligned} x &= c + [(\alpha - c) \cos \Delta\varphi + (\gamma - r) \sin \Delta\varphi] \cos \Delta\theta, \\ y &= b + [(\alpha - c) \cos \Delta\varphi + (\gamma - r) \sin \Delta\varphi] \sin \Delta\theta, \\ z &= r - (\alpha - c) \sin \Delta\varphi + (\gamma - r) \cos \Delta\varphi. \end{aligned} \quad (3a)$$

Расстояние от любой частицы колеса В до точки А остается постоянным

$$\begin{aligned} (x - c)^2 + (y - b)^2 + (z - r)^2 &= \\ \{[(\alpha - c) \cos \Delta\varphi + (\gamma - r) \sin \Delta\varphi] \cos \Delta\theta - (\beta - b) \sin \Delta\theta\}^2 &+ \\ + \{[(\alpha - c) \cos \Delta\varphi + (\gamma - r) \sin \Delta\varphi] \sin \Delta\theta + (\beta - b) \cos \Delta\theta\}^2 &+ \\ + [-(\alpha - c) \sin \Delta\varphi + (\gamma - r) \cos \Delta\varphi]^2 &= \\ = [(\alpha - c) \cos \Delta\varphi + (\gamma - r) \sin \Delta\varphi]^2 + (\beta - b)^2 &+ [-(\alpha - c) \sin \Delta\varphi + (\gamma - r) \cos \Delta\varphi]^2 = \end{aligned}$$

$$= (\alpha - c)^2 + (\beta - b)^2 + (\gamma - r)^2$$

или $(x - a)^2 + (y - b)^2 + (z - r)^2 = (\alpha - a)^2 + (\beta - b)^2 + (\gamma - r)^2$. (4)

Траектории точек A и B , ассоциируемых с осями колес, после наложения движений «а» и «б», можно найти по приведенным уравнениям с учетом указанных выше значений переменных Лагранжа. Точка A , которая принята в качестве полюса, остается неподвижной и сохраняет координаты (см. ур - ие 3а) $x = c, y = b, z = r$, а точка B перемещается по окружности (см. ур-ие 3)

$$x = c - (d - b) \sin \Delta\theta, \quad y = b + (d - b) \cos \Delta\theta, \quad z = r \quad (5)$$

$$\text{или } (x - c)^2 + (y - b)^2 = (d - b)^2, \quad z = r. \quad (5a)$$

Будем считать, что точка A совершает поступательное движение по некоторой плоской кривой

$$x = x(t), \quad x = x(t), \quad z = r = \text{const} \neq z(t). \quad (6)$$

Платформа и ось колеса B в этом внешнем движении также перемещаются поступательно в соответствии с уравнениями

$$x = \alpha + u_A(t), \quad y = \beta + v_A(t), \quad z = r = \text{const} \neq z(t). \quad (7)$$

Особо отметим, что если заданы угловые скорости, тогда компоненты перемещения точки A должны быть получены интегрированием линейных скоростей по времени. Поэтому в дальнейшем сначала находим скорости

$$(x_t)_A = \psi_t r \cos \theta, \quad (y_t)_A = \psi_t r \sin \theta, \quad (8)$$

а затем перемещения

$$u_A(t) = \int_0^t (x_t)_A dt = r \int_0^t \psi_t \cos[\theta(t)] dt, \quad v_A(t) = \int_0^t (y_t)_A dt = r \int_0^t \psi_t \sin[\theta(t)] dt. \quad (9)$$

Для простейших вариантов движения, например, для движения по кругу, интегрирование может быть выполнено в явном виде (см. ниже).

Уравнения совмещенного движения можно записать через компоненты вектора перемещения

$$\begin{aligned} x &= a + u(t) + [c - a + (\alpha - c) \cos \Delta\varphi + (\gamma - r) \sin \Delta\varphi] \cos \Delta\theta - (\beta - b) \sin \Delta\theta, \\ y &= b + v(t) + [c - a + (\alpha - c) \cos \Delta\varphi + (\gamma - r) \sin \Delta\varphi] \sin \Delta\theta + (\beta - b) \cos \Delta\theta, \\ z &= r - (\alpha - c) \sin \Delta\varphi + (\gamma - r) \cos \Delta\varphi. \end{aligned} \quad (10)$$

При одновременном вращении обоих колес кинематические связи сводятся к дифференциальным соотношениям

$$r(d\varphi - d\psi) = L d\theta \quad \text{или} \quad d\theta = (r/L)(d\varphi - d\psi) = (r/L)(\varphi_t - \psi_t) dt.$$

Отсюда находим

$$\theta_t = (r/L)(\varphi_t - \psi_t) \quad \text{при} \quad L = \sqrt{(x_A - x_B)^2 + (y_A - y_B)^2} = |b - d|. \quad (11)$$

Если изменение углов и угловых скоростей колес во времени будет известно, решение сводится к последовательному определению кинематических ха-

рактеристик вращательного, а затем поступательного движения, мощности, момента и сил на осях ведущих колес

$$\theta_t = \frac{r}{L}(\varphi_t - \psi_t), \quad \theta_{tt} = \frac{r}{L}(\varphi_{tt} - \psi_{tt}), \quad \theta = \theta_0 + \frac{r}{L}(\varphi - \psi), \quad (12)$$

$$u_A(t) = x_A - \alpha_A = r \int_0^t \psi_t \cos \theta dt, \quad v_A(t) = y_A - \beta_A = r \int_0^t \psi_t \sin \theta dt. \quad (13)$$

Все последующие соотношения представлены через независимые функции угловых скоростей или углов поворота, которые определяют поведение робота в любой момент времени.

Ниже приведены уравнения для скоростей и ускорений осей колес и центра масс платформы симметричного робота при $r_A = r_B = r$, $\alpha_C = 0,5(\alpha_A + \alpha_B)$, $\beta_C = 0,5(\beta_A + \beta_B)$:

точка А

$$(x_t)_A = \psi_t r \cos \theta, \quad (y_t)_A = \psi_t r \sin \theta,$$

$$(x_{tt})_A = \psi_{tt} r \cos \theta - \psi_t \theta_t r \sin \theta = \psi_{tt} r \cos[\frac{r}{L}(\varphi - \psi)] - \frac{r^2}{L} \psi_t (\varphi_t - \psi_t) \sin[\frac{r}{L}(\varphi - \psi)],$$

$$(x_{ttt})_A = r \left\{ \psi_{tt} \cos[\frac{r}{L}(\varphi - \psi)] - \frac{r}{L} \psi_t (\varphi_t - \psi_t) \sin[\frac{r}{L}(\varphi - \psi)] \right\},$$

$$(y_{tt})_A = \psi_{tt} r \sin \theta + \psi_t \theta_t r \cos \theta,$$

$$(y_{ttt})_A = r \left\{ \psi_{tt} \sin[\frac{r}{L}(\varphi - \psi)] + \frac{r}{L} \psi_t (\varphi_t - \psi_t) \cos[\frac{r}{L}(\varphi - \psi)] \right\},$$

$$x_A = \alpha_A + r \int_0^t \psi_t \cos \theta dt, \quad y_A = \beta_A + r \int_0^t \psi_t \sin \theta dt,$$

точка В

$$x_B = x_A - (d - b) \sin \Delta \theta, \quad y_B = y_A + (d - b) \cos \Delta \theta,$$

$$(x_t)_B = (x_t)_A - \theta_t (y_B - y_A) = (x_t)_A - \theta_t (d - b) \cos \theta,$$

$$(y_t)_B = (y_t)_A + \theta_t (x_B - x_A) = (y_t)_A - \theta_t (d - b) \sin \theta,$$

$$(x_{tt})_B = (x_{tt})_A - \theta_{tt} (d - b) \cos \theta + \theta_t^2 (d - b) \sin \theta,$$

$$(y_{tt})_B = (y_{tt})_A - \theta_{tt} (d - b) \sin \theta - \theta_t^2 (d - b) \cos \theta,$$

$$(x_{ttt})_B = (x_{ttt})_A - \theta_{ttt} (y_B - y_A) - \theta_t^2 (x_B - x_A),$$

$$(y_{ttt})_B = (y_{ttt})_A + \theta_{ttt} (x_B - x_A) - \theta_t^2 (y_B - y_A).$$

Для точки С из простых геометрических соотношений находим

$$x_C = \frac{1}{2}(x_A + x_B), \quad y_C = \frac{1}{2}(y_A + y_B),$$

$$(x_t)_C = \frac{1}{2}[(x_t)_A + (x_t)_B], \quad (y_t)_C = \frac{1}{2}[(y_t)_A + (y_t)_B],$$

$$(x_{tt})_C = \frac{1}{2}[(x_{tt})_A + (x_{tt})_B], \quad (y_{tt})_C = \frac{1}{2}[(y_{tt})_A + (y_{tt})_B].$$

Составляющие кинетической энергии, характеризующие поступательное (E_{kn}) и вращательное (E_{kv}) движение колес и платформы, а также скорости их изменения (W_{kn} , W_{kv}) для каждого элемента робота определяют уравнения:

колесо А

$$(E_{kn})_A = 0,5m_A(r\psi_t)^2, \quad (E_{kv})_A = 0,5J_A(\psi_t)^2$$

$$(W_{kn})_A = m_A(x_t x_{tt} + y_t y_{tt})_A = 0,5m_A r^2 (\psi_t^2)_t = m_A r^2 \psi_t \psi_{tt},$$

$$(W_{kv})_A = 0,5J_A(\psi_t^2)_t = J_A \psi_t \psi_{tt},$$

$$(W_k)_A = (m_A r^2 + J_A) \psi_t \psi_{tt} = J_{PA} \psi_t \psi_{tt},$$

колесо В

$$(E_{kn})_B = 0,5m_B(x_t^2 + y_t^2)_B = 0,5m_B[r^2 \psi_t^2 + (d-b)^2 \theta_t^2 - 2r(d-b)\psi_t \theta_t],$$

$$(E_{kv})_B = 0,5J_B(\phi_t^2),$$

$$(W_{kn})_B = m_B(x_t x_{tt} + y_t y_{tt})_B = m_B \left\{ r^2 \psi_t \psi_{tt} + (d-b)^2 \theta_t \theta_{tt} - 2r(d-b)(\theta_{tt} \psi_t + \theta_t \psi_{tt}) \right\},$$

$$\text{или } (W_{kn})_B = m_B \phi_t r^2 [\phi_{tt} - \psi_{tt} (1 + \frac{d-b}{L})] + m_B \psi_t r^2 (1 + \frac{d-b}{r}) (2\psi_{tt} - \phi_{tt}),$$

$$(W_{kv})_B = 0,5J_B(\phi_t^2)_t = J_B \phi_t \phi_{tt},$$

платформа С

$$(E_{kn})_C = 0,5m_C(x_t^2 + y_t^2)_C = (1/8)m_C \left\{ [2(x_t)_A - \theta_t(y_B - y_A)]^2 + [2(y_t)_A + \theta_t(x_B - x_A)]^2 \right\},$$

$$(E_{kn})_C = \frac{1}{8}m_C[4(x_t^2 + y_t^2)_A - 4\psi_t \theta_t r(d-b) + L^2 \theta_t^2], \quad (E_{kv})_C = 0,5J_C \theta_t^2,$$

$$(W_{kn})_C = \frac{1}{2}m_C \phi_t r^2 [\frac{1}{2}\phi_{tt} - \psi_{tt} (\frac{1}{2} + \frac{d-b}{L})] + \frac{1}{2}m_C \psi_t r^2 [-\phi_{tt} (\frac{1}{2} + \frac{d-b}{L}) + \psi_{tt} (\frac{5}{2} + 2\frac{d-b}{L})],$$

$$(W_{kv})_C = J_C \theta_t \theta_{tt} = \frac{r^2}{L^2} (\phi_t - \psi_t)(\phi_{tt} - \psi_{tt}) J_C = \frac{r^2}{L^2} J_C [\phi_t (\phi_{tt} - \psi_{tt}) - \psi_t (\phi_{tt} - \psi_{tt})].$$

При движении по прямой ($\phi_t = \psi_t$) выполняются соотношения

$$(W_{kn})_A = m_A r^2 \psi_t \psi_{tt} = (W_{kn})_B = m_B r^2 \phi_t \phi_{tt}, \quad (W_{kn})_C = m_C r^2 \psi_t \psi_{tt} = m_C r^2 \phi_t \phi_{tt},$$

$$(W_{kv})_A = J_A \psi_t \psi_{tt} = (W_{kv})_B = J_B \phi_t \phi_{tt}, \quad (W_{kv})_C = 0.$$

Энергетический баланс

$$W_e = M_A \psi_t + M_B \phi_t = (W_{kn} + W_{kv})_A + (W_{kn} + W_{kv})_B + (W_{kn} + W_{kv})_C \quad (14)$$

должен выполняться при любом соотношении угловых скоростей

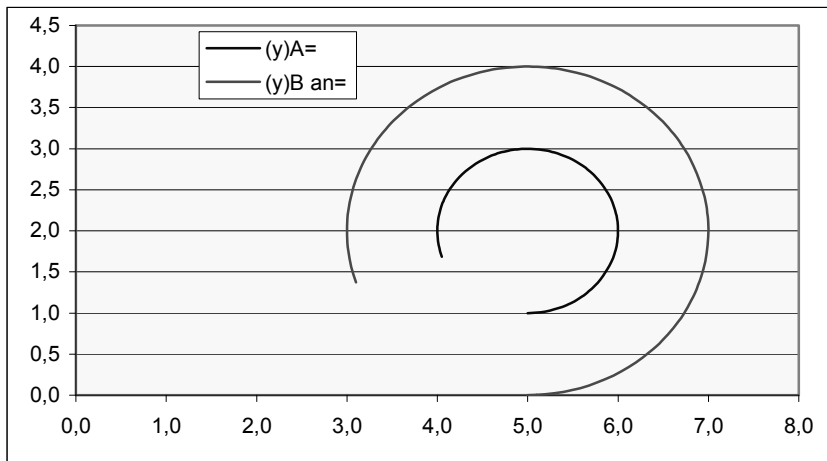


Рис. 2. Движение навигационного робота по кругу

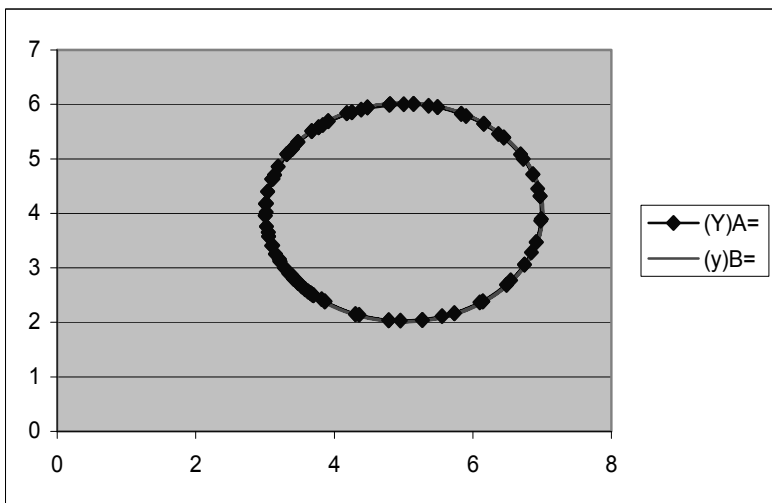


Рис. 3. Вращение навигационного робота относительно центра масс

$$\begin{aligned}
 W_e = & m_A r^2 \psi_t \psi_{tt} + m_B r^2 \varphi_t [\varphi_{tt} - \psi_{tt} \left(1 + \frac{d-b}{L}\right)] + m_B r^2 \psi_t \left(1 + \frac{d-b}{L}\right) (2\psi_{tt} - \varphi_{tt}) + \\
 & + \frac{1}{2} m_C r^2 \varphi_t \left[\frac{1}{2} \varphi_{tt} - \psi_{tt} \left(\frac{1}{2} + \frac{d-b}{L}\right)\right] + \frac{1}{2} m_C r^2 \psi_t \left[-\varphi_{tt} \left(\frac{1}{2} + \frac{d-b}{L}\right) + \psi_{tt} \left(\frac{5}{2} + 2\frac{d-b}{L}\right)\right] + \\
 & + J_A \psi_t \psi_{tt} + J_B \varphi_t \varphi_{tt} + \frac{r^2}{L^2} J_C (\varphi_t - \psi_t)(\varphi_{tt} - \psi_{tt}).
 \end{aligned}$$

Обобщенные силы в виде моментов на приводных валах можно найти по уравнениям

$$M_A = m_A r^2 \psi_{tt} + m_B r^2 \left(1 + \frac{d-b}{L}\right) (2\psi_{tt} - \varphi_{tt}) + \frac{1}{2} m_C r^2 \left[-\varphi_{tt} \left(\frac{1}{2} + \frac{d-b}{L}\right) + \psi_{tt} \left(\frac{5}{2} + 2\frac{d-b}{L}\right)\right] +$$

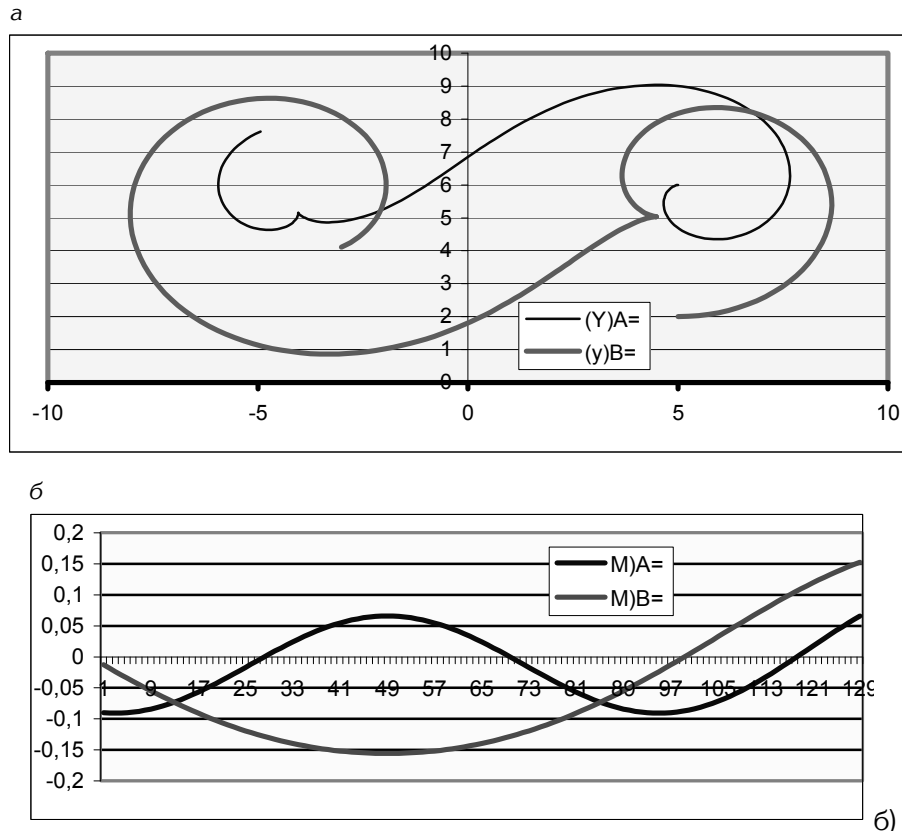


Рис. 4. Движение робота по заданной траектории (а) и соотношения между моментами на ведущих колесах (б)

$$+J_A \Psi_{tt} - \frac{r^2}{L^2} J_C (\varphi_{tt} - \Psi_{tt}),$$

$$M_B = m_B r^2 [\varphi_{tt} - \Psi_{tt} (1 + \frac{d-b}{L})] + \frac{1}{2} m_C r^2 [\frac{1}{2} \varphi_{tt} - \Psi_{tt} (\frac{1}{2} + \frac{d-b}{L})] + J_B \varphi_{tt} + \frac{r^2}{L^2} J_C (\varphi_{tt} - \Psi_{tt}).$$

Проверку расчета проводим по выполнению баланса (14)

$$M_A \Psi_t + M_B \varphi_t = (W_{kn} + W_{kv})_A + (W_{kn} + W_{kv})_B + (W_{kn} + W_{kv})_C.$$

Расчеты проведены для нескольких вариантов изменения углов поворота и угловых скоростей ведущих колес.

Вариант 1:

$$\varphi = A_0 + A_1 \sin \frac{\pi t}{2T_1}, \quad \varphi_t = \frac{\pi}{2T_1} A_1 \cos \frac{\pi t}{2T_1}, \quad \varphi_{tt} = -\left(\frac{\pi}{2T_1}\right)^2 A_1 \sin \frac{\pi t}{2T_1},$$

$$\psi = B_0 + B_1 \cos \frac{\pi t}{2T_2}, \quad \psi_t = -\frac{\pi}{2T_2} B_1 \sin \frac{\pi t}{2T_2}, \quad \psi_{tt} = -\left(\frac{\pi}{2T_2}\right)^2 B_1 \cos \frac{\pi t}{2T_2}.$$

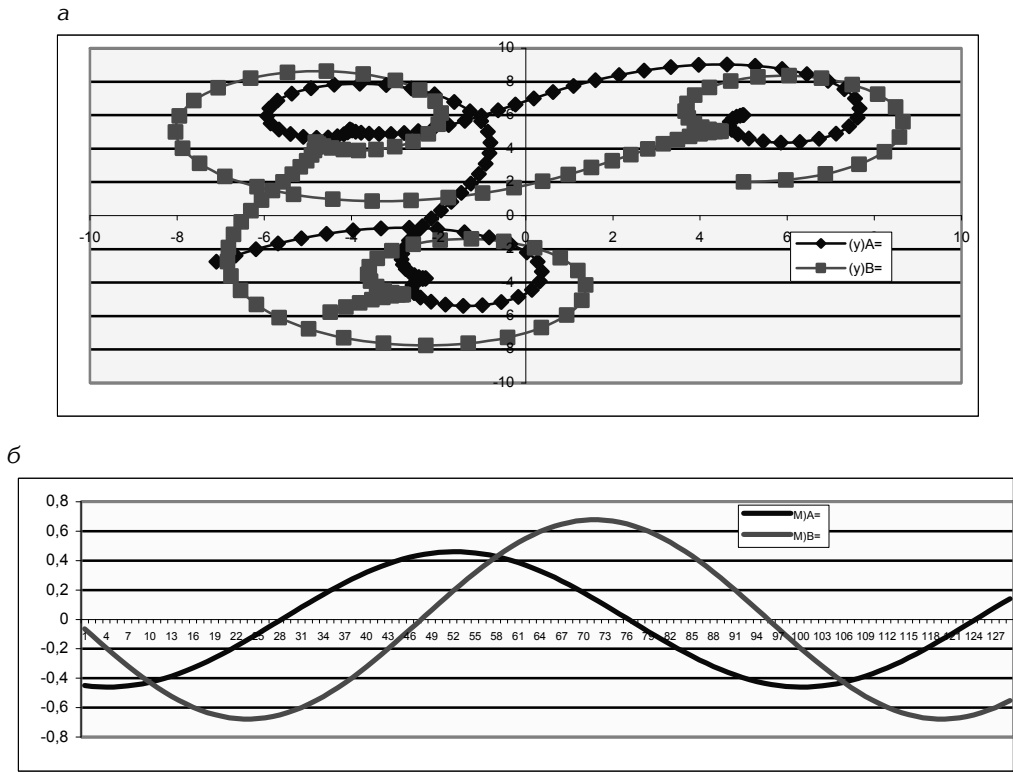


Рис. 5. Траектории точек А и В (а) при соотношении между моментами (б)

Если углы и угловые скорости изменяются пропорционально, например
 $\psi = k\varphi$,

тогда получаем движение «по кругу» (рис. 2) с соотношениями

$$\psi_t = k\varphi_t, \quad \psi_{tt} = k\varphi_{tt},$$

$$\varphi = A_0 + A_1 \sin \frac{\pi t}{2T}, \quad \varphi_t = \frac{\pi}{2T} A_1 \cos \frac{\pi t}{2T}, \quad \varphi_{tt} = -\left(\frac{\pi}{2T}\right)^2 A_1 \sin \frac{\pi t}{2T},$$

$$\theta_t = \frac{r}{L} (\varphi_t - \psi_t) = \frac{r}{L} \varphi_t (1-k), \quad \theta_{tt} = \frac{r}{L} (\varphi_{tt} - \psi_{tt}) = \frac{r}{L} \varphi_{tt} (1-k),$$

$$\theta = \theta_0 + \frac{r}{L} (\varphi - \psi) = \theta_0 + \frac{r}{L} \varphi (1-k),$$

$$u_A(t) = x_A - \alpha_A = r \int_0^t \psi_t \cos \theta dt = rk \int_0^t \cos \left[\frac{r}{L} (1-k)\varphi \right] d\varphi = L \frac{k}{1-k} \sin \left[\frac{r}{L} (1-k)\varphi \right],$$

$$v_A(t) = y_A - \beta_A = r \int_0^t \psi_t \sin \theta dt = rk \int_0^t \sin \left[\frac{r}{L} (1-k)\varphi \right] d\varphi = -L \frac{k}{1-k} \left\{ \cos \left[\frac{r}{L} (1-k)\varphi \right] - 1 \right\}.$$

При вращении относительно центра масс (рис. 3) моменты и угловые скорости на колесах А и В равны по величине, но противоположны по знаку. Результаты расчетов для более сложных траекторий, а также соотношения моментов на ведущих колесах приведены на рис. 4 и 5.

Разработанная математическая модель с окончательными зависимостями, записанными через независимые функции угловых скоростей, позволяет определить их по заданной траектории движения робота, а затем найти любые другие кинематические или динамические характеристики, в том числе необходимые для реализации заданного движения мощности, подаваемые на приводы независимых ведущих колес.

СПИСОК ЛИТЕРАТУРЫ

1. Буданов В.М., Девягин Е.А. О движении колесных роботов.// ПММ. 2003. т.67, вып.2. С. 244—255.
2. Карпов В.Э. Об одной задаче управления мобильным роботом. Труды конференции по искусственному интеллекту. Обнинск, 2006. В. 3-т, т.2 – М: Физматлит, 2006 – 310 с., с. 719-727.
3. Алюшин Ю.А. Энергетические основы механики. Учеб. пособие для вузов: – М.: Машиностроение, 1999. — 192 с.
4. Алюшин Ю.А. Принцип суперпозиции движений в пространстве переменных Лагранжа.// Проблемы машиностроения и надежности машин. 2001. №3. С. 13-19.
5. Алюшин Ю.А., Рачек В.М., Балахнина Е.Е. Развитие методов моделирования в механике на основе общих уравнений динамики и описания движения в переменных Лагранжа. Отчет по НИР. Номер гос. регистр. 01.2.006.140822. Изв. номер ВНТИЦ 02200950038, 122 с. ГИАЗ

КОРОТКО ОБ АВТОРАХ

Алюшин Юрий Алексеевич — доктор технических наук, профессор, alyushin7@gmail.com,
Вержанский Петр Михайлович — кандидат технических наук, доцент,
Калинкин Михаил Николаевич, студент
Московский государственный горный университет, ud@msmu.ru



РУКОПИСИ, ДЕПОНИРОВАННЫЕ В ИЗДАТЕЛЬСТВЕ «ГОРНАЯ КНИГА»

ТЕНДЕНЦИИ РАЗВИТИЯ МИРОВОГО РЫНКА ИНФОРМАЦИОННЫХ ТЕХНОЛОГИЙ. ВЛИЯНИЕ ИНФОРМАЦИОННЫХ ТЕХНОЛОГИЙ НА СТРАТЕГИЮ ПРЕДПРИЯТИЙ

(№ 932/01-13 от 26.10.12, 14 с.)

Сейфуллаева Maisa Emirovna — доктор экономических наук, профессор,
Андрашчикова Kristina — аспирант,
Российский экономический университет им. Г.В. Плеханова.

ESSENTIAL TRENDS OF THE GLOBAL IT MARKET. INFLUENCE OF THE IT ON STRATEGY OF THE ENTERPRISES Seifullaeva Maisa Emirovna, Andrascikova Kristina